

1. 考え方。本報告は“我国の太平洋岸に存する湾の湾口挾窄部特性”に関する研究^{1), 2)}に次ぐものであり、研究の目的は、地域開発の計画立案に対する基礎資料を整えることにある。

湾口挾窄部特性については、前述の研究と同様、以下に示す3個の特性項を選んだ。

a: 挾窄部断面における断面積, A b: 挾窄部断面における断面巾, B c: 挾窄部断面の方向, θ_{ts}
本報告では、上記特性項と、これら諸特性項に影響をおぼすと考えられる10個の外力ならびに外力関連項との相関性を調べ、次へ各特性項と卓越外力項との関係につき検討する。

2. 基礎データーの収集。調査の対象とした湾は青森県の小泊湾から山口県の油谷湾までを含む大小、合せて33個の湾である。湾の抽出に際しては、原則として湾口部に人工的な改変が加えられない湾を対象とした。抽出した各湾については、水路部発行の海図(昭和48年小改訂済み)から、下に示す諸特徴値を測定した。

- | | |
|---|---|
| 1). 挾窄部断面積(大潮干潮面下), A (km^2) | 5). 湾の周長(大潮干潮面下), l_s (km) |
| 2). 挾窄部断面巾(大潮干潮面下), B (km) | 6). 挾窄部断面での最大水深(大潮干潮面下), d_x (m) |
| 3). 挾窄部断面の方向(方位角), θ_{ts} (degree) | 7). 湾口部の外洋に対する開口角, θ_{op} (degree) |
| 4). 湾の平均平面積, S_m (km^2) | 8). 湾口周辺の平均潮差, $2\Delta_n$ (m) |

風については、気象庁年報から各抽出湾近傍の測候所で観測された月最大風のデーターを連続55年(S.47年～S.46年)にわたり集計して、評価対象風とした。

波についても、同様にして抽出された各湾の近傍で、上記風データーと同じ時期に連続55年以上にわたり観測された波浪データーから月最大波を抽出し、これを評価対象波とした。ただし、観測期間が短いもの、あるいは実測値が入手できない湾においては、前述の評価対象風に基づいて、S-M-B法から推定した波浪諸元を評価対象波とした。

3. 挾窄部特性と外力関連項との相関性。挟窄部諸特性に影響を与えると考えられる外力および外力関連項について、以下に示す10個の物理量を考えた。これらの諸量は、それを先述した基礎資料を用いて算定した。

- | | |
|--|--|
| 1). 湾口外洋における風エネルギー, E_{od} ($\text{kg}\cdot\text{m}^2/\text{sec}^2$) | 6). 挾窄部へ侵入風エネルギーの方向, θ_{pd} (degree) |
| 2). 同エネルギーの方向(方位角), θ_{od} (degree) | 7). 挾窄部へ侵入する波エネルギー, E_{pr} ($\text{kg}\cdot\text{m}^2/\text{sec}^2$) |
| 3). 湾口外洋における波エネルギー, E_{or} ($\text{kg}\cdot\text{m}^2/\text{sec}^2$) | 8). 同エネルギーの方向(方位角), θ_{pr} (degree) |
| 4). 同エネルギーの方向(方位角), θ_{ov} (degree) | 9). 湾内外へ出入する潮汐量, P (km^3) |
| 5). 挾窄部へ侵入する風エネルギー, E_{pd} ($\text{kg}\cdot\text{m}^2/\text{sec}^2$) | 10). 挾窄部における潮汐流の平均流速, V_m (m/sec) |

表-1は挟窄部における各特性項と外力関連項

TABLE-1. CORRELATION COEFFICIENTS BETWEEN CHARACTERISTIC VARIABLES AT THROAT SECTIONS AND TEN EXTERNAL VARIABLES

との相関係数を示す。表-1から明らかなように
挟窄部断面積および断面巾は共にタイダルアリ
ズムと高い相関がみられる。一方、断面の方向と
関しては、表-1からみるかぎり、支配的影響
をおぼしていふ外力関連項は、はつきりとは判
らがない。断面の方向と関しては後で更に検討する。
さて、挟窄部断面積および断面巾とそれらの

	A B θ_{ts}			A B θ_{ts}			A B θ_{ts}		
	(Both-original)			(A, B, θ_{ts} ; log)			(Both-log values)		
P	.623	.654	.302	.570	.594	.220	.890	.883	.189
V	.192	.224	.271	.275	.284	.195	.241	.285	.209
E	-.141	-.171	-.222	-.066	-.072	-.117	-.129	-.135	-.192
E_{od}	.040	.014	.001	.087	.075	.083	-.086	-.090	-.047
E_{od}	-.077	-.096	.111	-.082	-.119	.137	.137	.119	.302
E_{pd}	.122	.047	.050	.291	.246	.261	.070	.099	.439
E_{pd}	.015	.043	-.096	.108	.158	.081	.180	.211	.118
Δ_{ov}	.052	-.012	.016	.116	.115	.240	-.053	-.018	.244
E_{ov}	.136	.127	-.067	.254	.279	.087	.217	.302	.221
E_{pv}	.052	-.012	.016	.116	.115	.240	-.053	-.018	.244
P_{pv}	.164	.099	.120	.356	.338	.262	.338	.379	.168

卓越外力場であるタイダル プリズムの関係を調べてみる。図-1 および図-2 は、それを断面積, A および断面巾, B とタイダル プリズム, P との関係をプロットしたものである。図中, N は考慮した湾口部の数を、また R は両変数間の相関係数を示す。両図から、A～P および B～P の関係には、なお相当量のバラツキがあることが判る。

次いで、断面の方向, θ_{ts} と侵入波エネルギーの方向, θ_{pv} との関係を調べてみる。ただし、この解析においては、湾口狭窄部が外洋に対して露出しない湾口対象からはずす。更に θ_{ts} が 300° 以上の値を有する場合には、対応する侵入波エネルギーの方向に 360° を加えた値を θ_{pv} として用いる。この様にして、 θ_{ts} と θ_{pv} の関係を調べた結果を図-3 に示す。同図から明らかな如く、前述の如き取り扱ひをすれば θ_{ts} と θ_{pv} との間に、かなり高い相関性が存在することが認められる。

4. 考察 前節で A～P および B～P の各関係について、かなりのバラツキがあることを述べた。この原因には、タイダル プリズム以外の外力かより外力場連鎖の影響、湾口部周辺の地質ならびに地形特性の影響等が本解析へ導入されなかつたことが考えられる。しかししながら、A, B の双方についてタイダル プリズムが卓越外力場であるので、ここで P の湾内外への入出の難易度に大きい影響を与える湾周辺の地形特性の影響を導入し、A, B の各断面幅からのバラツキ量と相関を調べてみる。ただし、A, B のバラツキ量はそれぞれ次の様に定義した。

$$A_F = A_{est}(\text{断面積による推算値}) / A$$

$$B_F = B_{est}(\text{断面巾による推算値}) / B$$

その結果、 A_F は断面積と湾平面積の比、 A/S_N と大きく、 B_F は断面巾と湾周長の比、 B/l_S と、かなり高い相関性があることが判った。今後、これらをパラメータとして導入して、更に解析を進めて行きたい。

文献

- 1) "我が國太平洋岸に存する湾の湾口狭窄部特性について," 第6回海洋開拓シンポジウム, 50年9月, pp.7~pp.12
- 2) "Stable Configuration of Bays on the Pacific Coast of Japan," Memoirs of the Defense Academy, Vol.XV, NO.4, pp.175~pp.184, Dec. 1975

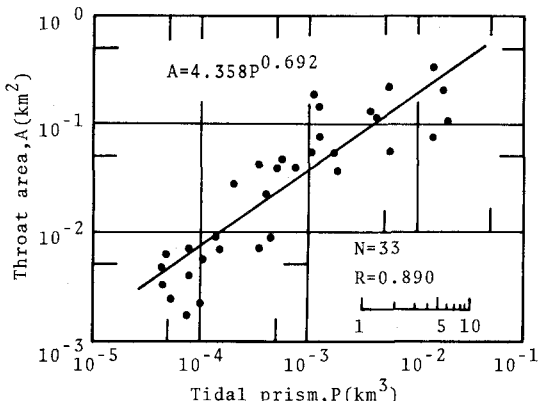


FIG-1. RELATIONSHIP BETWEEN THROAT AREA,A AND TIDAL PRISM,P

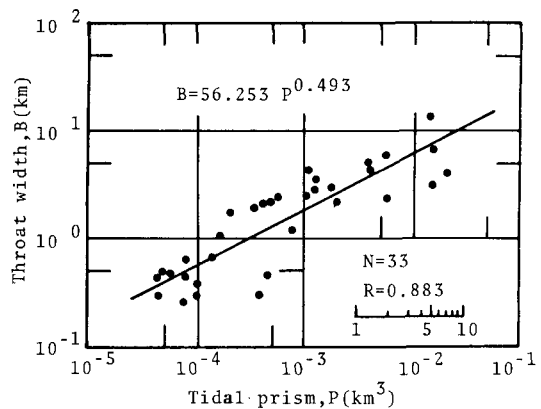


FIG-2. RELATIONSHIP BETWEEN THROAT WIDTH,B AND TIDAL PRISM,P

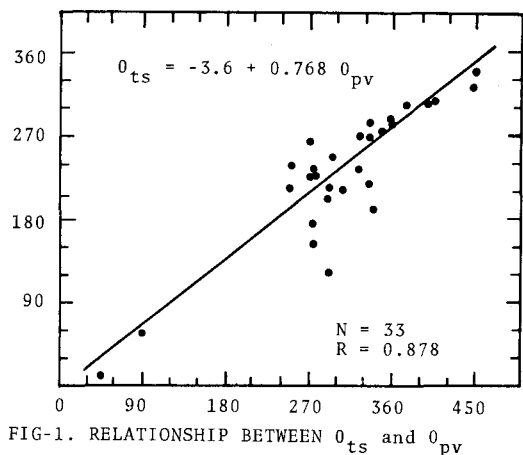


FIG-1. RELATIONSHIP BETWEEN θ_{ts} and θ_{pv}